

および白銅について比較測定した。

(ii) 川砂による磨耗において、高Mn鋼は焼純高炭素鋼またはHv 300~350の焼戻し鋼と大差のない耐磨耗性を示す。白銅は高Mn鋼に比し約20%おとる。

(iii) セメントクリンカーにたいしては白銅が非常に良好である。高Mn鋼もまた高炭素鋼に比し川砂にたいするよりも比較的良好である。

(iv) 石炭にたいしてはどの材料も磨耗が頭しく少なかつた。珪石、アルミナのごくかたい粒子も微粉であれば磨耗能力が低い。

文 献

- 1) 伊丹: 鉄と鋼, 24, 7 (昭31) p. 616 (4)
- 2) 中山, 財満: 材料試験 5, 37 (昭31) p. 595 (5)
- 3) T. E. Norman and C. M. Loeb: Trans. A.I.M.E. 176 (1948), 490
- 4) Manganese Steel, Hadfield Ltd. (1956) p. 44
- 5) R.D. Haworth, Jr. Trans A.S.M. 41 (1949) 819

(102) 13 Cr 不銹鋼の熱処理における加熱速度の影響

(熱処理における加熱速度の影響—Ⅱ)

Effect of Heating Rate on the Properties of Heat Treated 13%Cr Stainless Steel
(Effect of heating rate in heat treatment—Ⅱ)

T. Mori, et alii.

東京工業大学 工博 作井 誠太
工○森 勉
神奈川工業試験所 工山 本千秋

I. 緒 言

18/8不銹鋼の焼純に際して、加熱速度の差による、再結晶粒度の相違、炭化物析出による耐食性の変化、加工によって生じたマルテンサイトの消失状況の差異については、第1報に報告した。今回われわれは、13Cr不銹鋼を対象として、急熱の実験をおこなつた。周知のごとく、13Cr不銹鋼は、18/8 typeの不銹鋼と異なつて、A₁変態を持つ。したがつて今回の実験では、A₁変態によって生じたマルテンサイトの発生状況についても調べてみた。

II. 試料および実験方法

試料は、Table 1に示すような分析値を有する圧延板であつて、加工度は10, 30, 50, 70%の4種であり、厚さはすべて0.30 mmである。

熱処理は徐熱の場合には電気炉を用い、加熱速度を10

Table 1. Chemical composition.

C	Si	Mn	Ni	Cr
0.086	0.71	0.48	0.06	15.24

°C/mnとし、所定の温度に達したら、ただちに水冷した。急熱は、試料に直接電流を通じておこない、加熱速度は、1000°Cまでの平均をとると3×10³°C/secであつて、冷却は油冷である。この場合雰囲気は真空であるので、加熱前後の顕微鏡組織を比較できる利点がある。

III. 実験結果

(再結晶による軟化)

Fig. 1は、加工度70%の試料の熱処理による軟化の模様を示す。徐熱の場合には、軟化は約500°Cより始まり、急熱の場合には、この温度が上昇して、約650°Cとなつてゐる。この軟化開始温度は、急熱、徐熱ともに加工度によつてほとんど変わらない。しかしながら、顕微鏡組織およびX線回折写真により、再結晶が始まつたと考えられる温度は、(Fig. 1矢印)加工度70%のものは徐熱で650°C、急熱すると740°Cであるのに、加工度50%のものでは、徐熱で700°C、急熱で820°Cとなり、ここに加工度の影響がはつきりあらわれてきている。

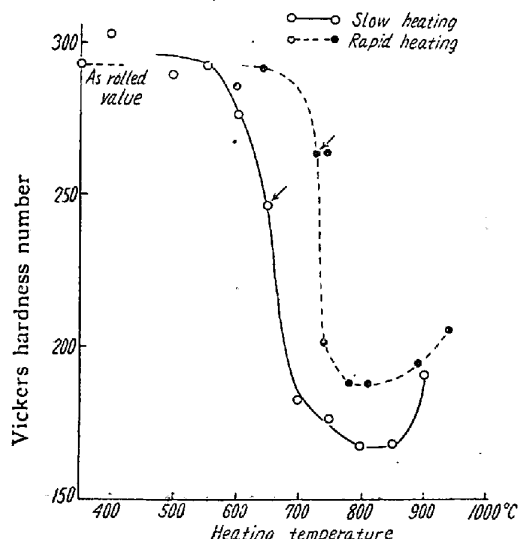


Fig. 1. Hardness-heating temperature curve.

(再結晶粒度)

Fig. 2は、加工度70%のものの、熱処理による結晶粒度の変化を示すもので、この図の最大の点が、再結晶が終了した温度での結晶粒度、すなわち再結晶粒度を示している。これによると、急熱は徐熱にくらべて、再結晶粒を小さくすることがわかる。このことは、他の加工度のものについてても同様である。

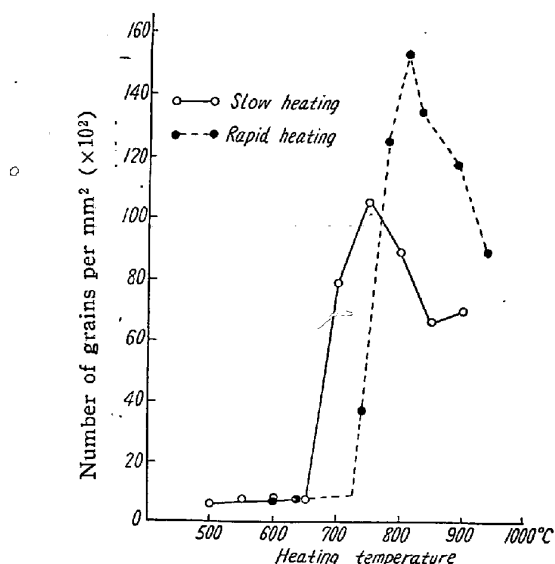
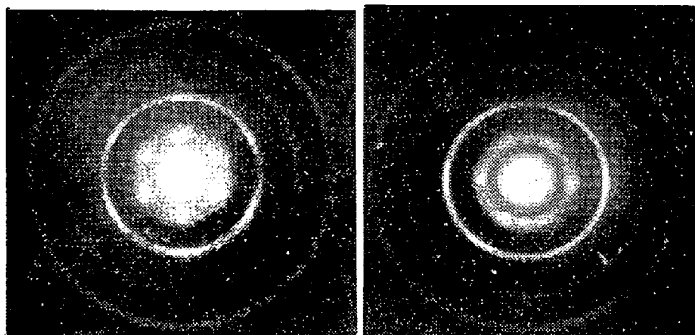


Fig. 2. Relation between grain size and heating temperature.

(方向性の問題)

試料の方向性を、X線写真により簡単に調べてみた結果によると、加工度のいかんにかかわらず、再結晶を終了した試料は、徐熱急熱共に、同じ程度の方向性を持つ回折図形を与えることがわかつた。ただし 70% 加工のものでは、急熱した試料は、徐熱した試料とやや異なる回折図形を与える。Photo. 1 (a), (b) は、70% 加工の試料のうち、再結晶を終つたものの回折写真である。



(a) Slow heated up to 700°C (b) Rapid heated up to 780°C
Photo. 1. X-ray photograph of recrystallized specimen (Mo K α radiation)

(A₁ 変態について)

つぎに A₁ 変態が急熱に際してどうかわるかをみるために加工度 70% のものについて、顕微鏡組織により調べてみた。これによると、徐熱の場合には、約 900°C より A₁ 変態がはじまり、急熱の場合には、約 950°C よりはじまつている。比較のために 970°C に 2 時間保持後、30°C/h の速度で冷却して十分に焼鈍をおこなつた。結晶粒の大きい試料を急熱してみると、A₁ 変態は 1000°C 以上にならないとおこらない。これは炭化物の分

布、結晶粒度の相違を考えると理解できるものであろう。

A₁ 変態後急冷した試料は、徐熱急熱共にマルテンサイト単相とはならず、未変態のフェライトが存在する。

これは試料の組成、熱処理方法からいつて当然なことであろう。発生するマルテンサイトは、徐熱した場合、950°C 烧入ではこまかいが、焼入温度が 1000°C になると粗くなつてくる。一方急熱した試料では、発生するマルテンサイトは、約 1200°C までは微細であつて、もつと高温になると、粗くなつてくる。マルテンサイトの分布形状は、焼入時のオーステナイトのそれに相当すると考えるならば、急熱の場合の方が、より高温まで A₁ 変態で生じたオーステナイト粒はこまかいといえる。

さきにのべた完全焼鈍材の急熱急冷組織については、写真によつて報告する。なお高炭素の 13 Cr 鋼についても、A₁ 変態を中心とした実験をおこなつてゐるので、あわせて報告したい。

(103) 13% Cr 鋼の炭化物反応

Carbide Reactions in 13% Chromium Steel

M. Tanino, et alius.

東京大学 故 工博 芥川 武
　　大学院 工〇谷 野満

I. 緒 言

種々の合金鋼中の炭化物反応研究の手段として、近時次第にエキストラクションレプリカが応用されるようになつてきた。電解分離-X線回折法にくらべてエキストラクションレプリカ電子線回折法では、析出炭化物介在物の結晶構造のみならず試料本体中におけるその分布状態をも決定し得るという利点を持つ。

本研究においては、炭化物反応研究の第 1 段階としてもつとも単純であろうと予想される 13% Cr 鋼を選び、焼入焼戻ならびに恒温変態における Cr 炭化物の炭化物反応をアセチルセルロースカーボン二段レプリカおよびカーボンエキストラクションレプリカを用いて電子顕微鏡および電子線回折により調べた。

実験試料の化学組成はつぎのとおりである。

C	Si	Mn	P	S	Ni	Cr	Cu
0.18	0.33	0.74	0.021	0.016	0.18	13.50	0.16

II. 実験結果

(1) 焼入焼戻

各試料は 1150°C において 30 分溶体化処理をほどこし、油焼入したのち、450°C～700°C の範囲で 50°C